

Таблица 15.1. Составы и температуры плавления двухкомпонентных эвтектических смесей *

Состав смеси (мол. доли)	Температура плавления, °C	Состав смеси (мол. доли)	Температура плавления, °C
AlBr_3 (0,74) — KBr	88—91	AlCl_3 (0,817) — BaCl_2	180
AlBr (0,82) — NaBr	95	LiNO_3 (0,54) — NaNO_3	193
AlCl_3 (0,60—0,62) — NaCl	108—115	$\text{Ca}(\text{NO}_3)_2$ (0,310) — NaNO_3	214
AlCl_3 (0,60) — LiCl	114	KCl (0,51) — ZnCl_2	230
AlCl_3 (0,67) — KCl	128	LiCl (0,125) — LiNO_3	244
KNO_3 (0,57—0,60) — LiNO_3	128—134	$\text{Ba}(\text{NO}_3)_2$ (0,026—0,028) — KNO_3	251
$\text{Ca}(\text{NO}_3)_2$ (0,342—0,360) — LiNO_3	142—146	LiBr (0,55) — LiOH	275
CuCl (0,65) — KCl	150	$\text{Ba}(\text{NO}_3)_2$ (0,124—0,133) — KNO_3	287
CuCl (0,34) — SnCl_2	172	$\text{Ba}(\text{NO}_3)_2$ (0,064) — NaNO_3	294—298

Таблица 15.2. Составы и температуры плавления трехкомпонентных эвтектических смесей *

Состав смеси (мол. доли)	Температура плавления, °С	Состав смеси (мол. доли)	Температура плавления, °С
AlCl_3 (0,635) —	50	$\text{Ba}(\text{NO}_3)_2$ (0,333) —	158
BaCl_2 (0,025) — NaCl		$\text{Ca}(\text{NO}_3)_2$ (0,175) — KNO_3	
AlCl_3 (0,56) — KCl (0,07) — LiCl	84,5	$\text{Ca}(\text{NO}_3)_2$ (0,18) —	165
AlCl_3 (0,60—0,63) —	88—94	LiNO_3 (0,45) — NaNO_3	
KCl (0,13—0,16) — LiCl		LiCl (0,05) —	174
CsNO_3 (0,24) —	97	LiNO_3 (0,80) — NaNO_3	
KNO_3 (0,39) — LiNO_3		$\text{Ba}(\text{NO}_3)_2$ (0,013) —	192
KNO_3 (0,449) —	120	LiNO_3 (0,532) — NaNO_3	
LiNO_3 (0,373) — NaNO_3		BaCl_2 (0,065) —	205
KNO_3 (0,44) —	142	NaCl (0,325) — ZnCl_2	
NaNO_3 (0,07) — NaNO_2		$\text{Ba}(\text{NO}_3)_2$ (0,026) —	214
		KNO_3 (0,513) — NaNO_3	

Таблица 15.3. Составы и температуры плавления нитрат-нитритных смесей

Массовый состав, %			Температура плавления, °С	Массовый состав, %			Температура плавления, °С
NaNO ₂	NaNO ₃	KNO ₃		NaNO ₂	NaNO ₃	KNO ₃	
100	0	0	281	34	13	53	152
50	0	50	139	34	3	63	164
44	3	53	140	30	20	50	152
42	3	55	141	30	10	60	156
40	0	60	143	30	0	70	162
40	7	53	142	0	50	50	218
38,5	11	50	145	0	100	0	306
35	7	58	155	0	0	100	334

Таблица 15.4. Физические свойства селитряной смеси

Состав смеси: 40 % NaNO_3 , 53 % KNO_3 , 7 % NaNO_2

Температура, °C	Плотность, кг/м ³	Теплопроводность, Вт/(м·°C)	Вязкость $\eta \cdot 10^3$, Па·с	Температура, °C	Плотность, кг/м ³	Теплопроводность, Вт/(м·°C)	Вязкость $\eta \cdot 10^3$, Па·с
150	1975	0,441	17,76	400	1783	0,330	1,834
200	1934	0,435	7,88	450	1748	0,298	1,525
250	1895	0,426	4,57	500	1715	0,266	1,312
300	1856	0,393	3,09	550	1681	0,235	1,157
350	1819	0,362	2,31				

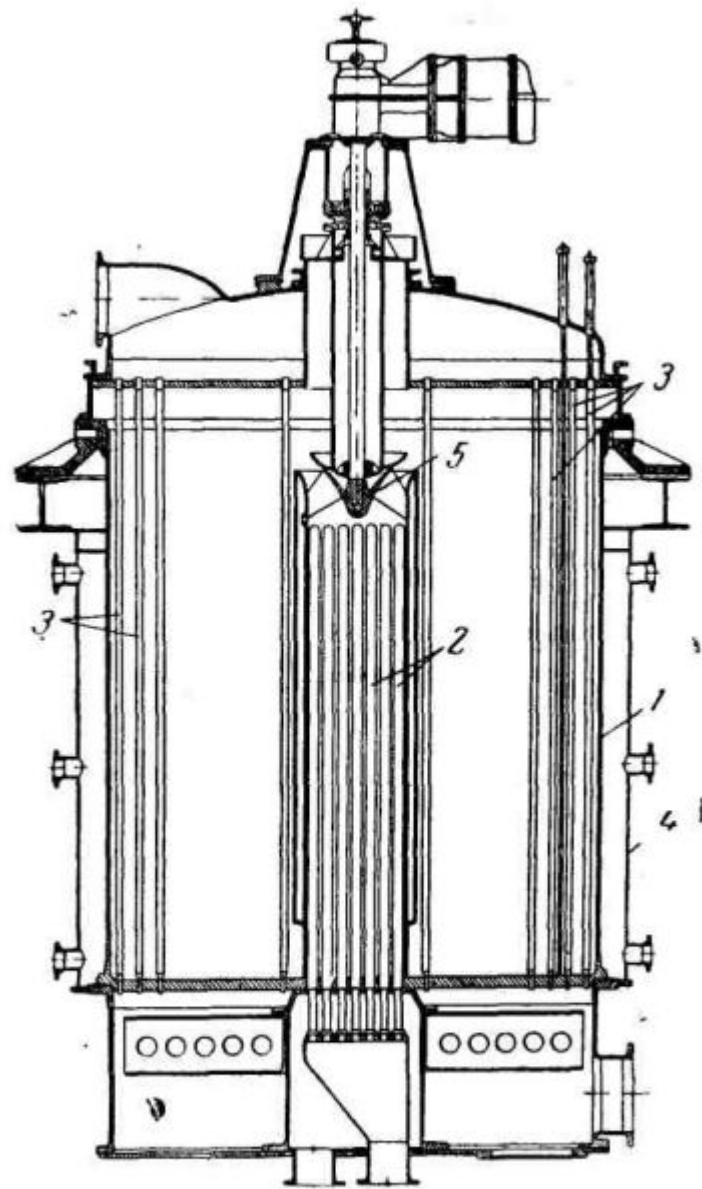


Рис. 264. Контактный аппарат с солевой ванной:

1—корпус; 2—двойные трубы; 3—трубы с катализатором; 4—рубашка; 5—пропеллерный насос.

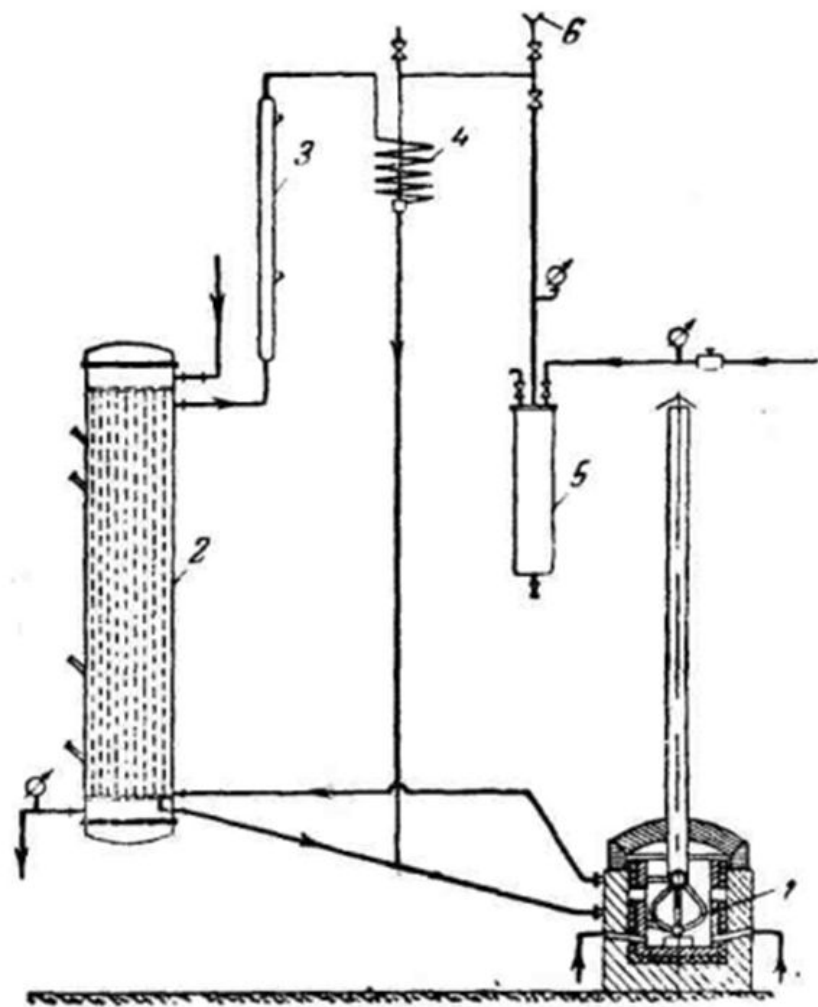


Рис. 265. Схема нагревания парами ртути:
 1—трубчатый испаритель; 2—обогреваемый аппарат
 3—труба-расширитель; 4—холодильник; 5—сосуд;
 6—воронка для заливки ртути.